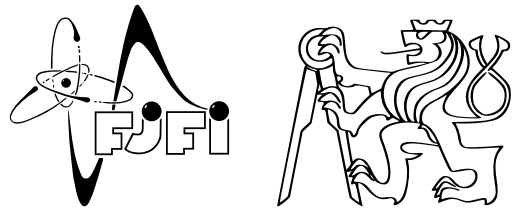


## Měření povrchového napětí a dynamické viskozity kapalin a plynů



Číslo úlohy: **7** Skupina: **2**  
 Kruh: **Čtvrtek** Jméno: **Denis Krapivin**  
 Datum měření: **4.11.2021** Kolega: **Kseniia Politskovaia**  
 Klasifikace:

---

## 1 Pracovní úkoly

- DŮ:** Odvoďte vztah pro závislost hustoty látky  $\rho_\theta$  jako funkci teploty  $\theta$ .
- DŮ:** Odvoďte vztah pro relativní chybu nepřímého měření:
  - pro povrchové napětí kapkovou metodou  $\frac{\sigma_1}{\sigma_2}$ . Teoretická funkční závislost povrchového napětí  $\sigma_1 = \sigma_1(m_1, m_2)$  je popsána vzorcem pro chyby nepřímého měření [2].
  - pro dynamickou viskozitu měřenou Stokesovou metodou  $\frac{\sigma_\eta}{\eta}$ . Teoretická funkční závislost dynamické viskozity  $\eta = \eta(r, u, \rho)$  je popsána rovnicí pro chyby nepřímého měření [2].
  - pro dynamickou viskozitu měřenou Stokesovou metodou opravenou na rozměry viskozimetru  $\frac{\sigma_\eta}{\eta^{\text{opr}}}$ . Teoretická funkční závislost dynamické viskozity  $\eta^{\text{opr}} = \eta^{\text{opr}}(r, u, \bar{\rho}, R, h)$  je popsána rovnicí pro chyby nepřímého měření [2].
- Změřte a určete dynamickou viskozitu oleje Stokesovou metodou. Měření opakujte 10-krát pro alespoň dva typy kuliček. Spočítejte dynamickou viskozitu bez i s korekcí na rozměry Stokesova viskozimetru, diskutujte rozdílnost výsledků. Uvažujte statistickou i systematickou chybu měření.
- Proveďte měření objemu protékajícího vzduchu při daném úbytku tlaku v kapiláře pomocí měřicí aparatury na Obr.1. Měření proveďte alespoň pro 10 různých hodnot úbytku tlaku. Výsledky vynesete do grafu ve tvaru  $\left(\frac{p_1^2 - p_2^2}{2p_2}\right) = f(V_t)$  a nafitujte vhodnou funkcí. Z výsledků fitu určete dynamickou viskozitu vzduchu při pokojové teplotě.
- Určete povrchové napětí lihu kapkovou metodou pomocí dvou různých kapilár. Uskutečňte 6 měření pro každou z kapilár. Proveďte korekci na těkavost lihu. Uvažujte statistickou i systematickou chybu měření.

## 2 Pomůcky

Teploměr, analytické váhy se sadou závaží, stopky, lůh, voda, skleněné kapiláry, stojánek s nálevkou (upraveno na odkapávání kapaliny z kapiláry), Petriho miska, lahvičky s víčkem, Stokesův viskozimetr s olejem, ocelové kuličky, pásové měřítko, mikrometrický šroub, vodní 'U' manometr, Mariotteovy láhve, těsníci a spojovací materiál, sada odměrných baněk a válců.

## 3 Teorie

### 3.1 Měření povrchového napětí kapalin

Uvažujeme kapalinu vytékající ze svislé trubici malého poloměru  $R$ . Na kapku kapaliny o hmotnosti  $m^{\text{real}}$  působí na konci trubice tíhová síla  $F_g = mg$  a v opačném směru síla  $F_\sigma = 2\pi R\sigma$  vyvolaná povrchovým napětím  $\sigma$  působícím na vnějšku obvodu trubice. Těsně před odtřením kapky od trubice tyto síly jsou v rovnováze:

$$m^{\text{real}}g = 2\pi R\sigma.$$

Hmotnost  $m^{\text{real}}$  však nelze změřit, neboť menší část kapky zůstane lpět na spodním konci trubice. Teď uvažujeme dvě různé kapaliny s různým povrchovým napětím. Při stejném průřezu trubice poměr povrchových napětí odpovídá poměru hmotností kapek:

$$\frac{m_1^{\text{real}}g}{m_2^{\text{real}}g} = \frac{2\pi R\sigma_1}{2\pi R\sigma_2} \implies \frac{\sigma_1}{\sigma_2} = \frac{m_1^{\text{real}}}{m_2^{\text{real}}}.$$

Nechť při odtření kapičky ulpívá na hrdle stále těž množství kapaliny, pak vážením stejného množství kapek dvou různých kapalin dostaneme hmotnosti  $m_1^{\text{meas}}$  a  $m_2^{\text{meas}}$ , které jsou ve stejném poměru jako hmotnosti celých kapek před jejich odtržením. Celkem dostaneme vzorec pro výpočet povrchového napětí  $\sigma_1$ :

$$\frac{m_1^{\text{meas}}}{m_2^{\text{meas}}} = \frac{m_1^{\text{real}}}{m_2^{\text{real}}} \implies \sigma_1 = \frac{\sigma_2 m_1^{\text{meas}}}{m_2^{\text{meas}}}. \quad (1)$$

### 3.2 Měření dynamické viskozity tekutin

Měření dynamické viskozity tekutin budeme provádět pomocí Stokesova viskozimetru. Jedná o skleněný válec naplněný kapalinou o hustotě  $\rho_{\text{kap}}$ . Vhazujeme-li do kapaliny kovovou kuličku hmotnosti  $M$ , poloměru  $r$ , objemu  $V$  a hustoty  $\rho > \rho_{\text{kap}}$ .

Po vhození kuličky do viskozimetru, bude zpočátku urychlována tíhovou silou, dokud se velikost tíhové  $F_g$  síly nevyrovná síle vztlakové  $F_{\text{vz}}$  a odporové  $F_{\text{odp}}$ :

$$F_g = F_{\text{odp}} + F_{\text{vz}}.$$

Pak kulička nabude mezní rychlosti  $v$  a nadále bude konat rovnoměrný pohyb. Odporovou sílu  $F_{\text{odp}}$  v prostředí s viskozitou  $\eta$  lze popsat jako  $F_{\text{odp}} = 6\pi\eta rv$ , vztlaková síla se rovná  $F_{\text{vz}} = Vg\rho_{\text{kap}}$ , kde  $g$  je gravitační zrychlení. Po dosazení a postupných úpravách dostaneme:

$$Mg = Vg\rho_{\text{kap}} + 6\pi\eta rv \implies \frac{4}{3}\pi r^3(\rho - \rho_{\text{kap}}) = 6\pi\eta rv.$$

Nyní z této rovnice vyjádříme kýženou viskozitu kapaliny  $\eta$  jako:

$$\eta = \frac{2}{9} \frac{gr^2}{v} (\rho - \rho_{\text{kap}}). \quad (2)$$

V praxi se ještě používá korekce na konečnou velikost trubice:

$$\eta = \frac{2gr^2(\rho - \rho_{\text{kap}})}{9v \left(1 + \frac{2,4r}{R}\right) \left(1 + \frac{3,3r}{h}\right)}, \quad (3)$$

kde  $R$  je poloměr trubice a  $h$  výška olejového sloupce uvnitř trubice.

### 3.3 Měření dynamické viskozity vzduchu

Stacionární laminární proudění plynu válcovou trubicí poloměru  $r$  a délky  $l$  v rozmezí tlaků  $10^2$  až  $10^5$  Pa popisuje Poiseuillova rovnice:

$$V_t = \frac{\pi}{8\eta} \frac{r^4}{l} (p_1 - p_2) \frac{p_1 + p_2}{2p_2}, \quad (4)$$

kde  $V_t$  je objem plynu  $V$  protékajícího trubicí za čas  $t$ ,  $p_1$  a  $p_2$  jsou tlaky na začátku a na konci trubice.

Pro naše účely představíme vztah (4) ve tvaru lineární funkce s konstantními koeficienty  $A$  a  $B$ :

$$\frac{p_1^2 - p_2^2}{2p_2} = AV_t + B, \quad \text{kde } A = \frac{8\eta l}{\pi r^4}.$$

Z toho dostaneme vztah pro viskozitu plynu  $\eta$ :

$$\eta = A \frac{\pi r^4}{8l}. \quad (5)$$

## 4 Postup měření

### 4.1 Měření povrchového napětí kapalin

Budeme měřit hodnotu povrchového napětí líhu kapkovou metodou. Jako referenční kapalina se známým povrchovým napětím  $\sigma_2$  se používá voda. Pro urychlení měření používáme dvě různé lahvičky, postup ale pro každou lahvičku je stejný. Před samotným experimentem potřebujeme určit hmotnosti prázdné velké lahvičky  $m_1$  a malé  $m_2$ , to uděláme pomocí analytických vah.

Necháme kapalinu odkapávat určitý počet kapek do zabroušené skleněné lahvičky přes kapiláru. Lahvičku po odkapávání uzavíráme, a tak zamezíme vypařování. Pomocí analytických vah určíme hmotnost nádoby s odkapanou kapalinou. Po každém měření skleničku důkladně vysušíme. Měření opakujeme několikrát pro každou kapalinu. Při práci s lihem měříme navíc dobu kapání, abychom mohli zpětně provést korekci na jeho těkavost.

Pro určení hmotnosti vypařeného během odkapávání líhu měříme navíc čas kapání  $t$  pomocí stopek. Po odkapávání určitého počtu kapek do lahvičky určíme hmotnost lahvičky s kapalinou, pak otevřeme lahvičku na střední dobu odkapávání a zase změříme hmotnost. Rozdíl hmotností nám dává korekci na vypařování líhu. Teto měření provedeme několikrát pro každou z lahví.

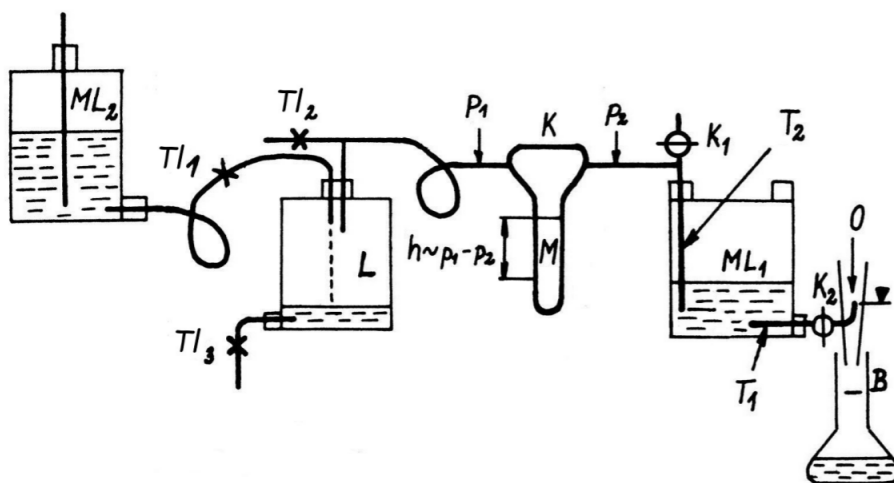
### 4.2 Měření dynamické viskozity tekutin

Máme válcový olejový viskozimetr a kovové kuličky dvou typů. Nejdříve změříme hmotnosti kuliček  $m$  na digitálních vahách. Kuličky jsou velmi malé, proto vážíme 10 kuliček najednou a následně spočítáme průměrnou hmotnost kuliček. Pak pomocí mikrometrického šroubu změříme pro několik náhodně vybraných kuliček obou typů hodnotu poloměru  $r$  kuliček.

Dalším krokem je změřit vnitřní poloměr viskozimetru  $R$  a výšku  $h$  olejového sloupce v trubicí. Pro výpočet hustoty oleje potřebujeme změřit teplotu místnosti  $\theta$ .

Měření budeme provádět pro oba dva typy kuliček ve střední části viskozimetru. Před samotným měřením jsme ověřili, že kulička ve střední části viskozimetru koná rovnoměrný pohyb. Kuličky vhazujeme do viskozimetru a měříme pomocí stopek čas  $t$ , za který urazí dráhu délkou  $l$ . Dráhu jsme vyznačili na viskozimetru lihovým fixem a změřili metrem. Při vhazování kuliček do jsme si snažili kontrolovat aby se kuličky nepohybovaly blízko stěn.

Pro každý typ kuliček opakujeme měření 10-krát.



Obr. 1: Schéma aparatury pro měření dynamické viskozity plynu. ML1, ML2, L jsou Mariotteovy láhve, M označuje manometr, K je kapilára o vstupním tlaku  $p_1$  a výstupním tlaku  $p_2$ . K1, K2 a T1, T2, T3 jsou kohouty pro manipulaci s vodou a plynem. T1 a T2 jsou skleněné trubice, B je odměrný válec.

### 4.3 Měření dynamické viskozity vzduchu

Budete měřit dynamickou viskozitu vzduchu průtokovou metodou. Měřicí aparatura je zobrazena na Obr. 1. Přečerpáváním vody z ML2 do L vyvoláme přetlak  $p_1$  v láhvi L. Při otevření uzávěru K1 hodnota výstupního tlaku  $p_2$  odpovídá atmosférickému tlaku. Změnu tlaku  $p_1 - p_2$  určíme z výšky vodního sloupce v "U" manometru jako změnu hydrostatického tlaku.

Po odečtení hodnot s manometru zavřeme kohout K1 a otevřeme kohout K2. Plyn vycházející z L trubicí T2 začne probublávat vodní lázeň ML1 a vytlačovat vodu trubicí T1. Změříme objem vycházející vody  $V$  odměrným válcem B za čas  $t$ , který měříme stopkami.

## 5 Zpracování dat

### 5.1 Měření povrchového napětí kapalin

Nejdřív jsme změřili hmotnost prázdné malé lahvičky  $m_1$  a velké lahvičky  $m_2$ :

$$m_1 = (55,1734 \pm 0,00005)\text{g} \quad m_2 = (84,6809 \pm 0,00005)\text{g}.$$

Chyba analytických vah je 0,005 mg, hmotnost prázdných lahviček jsme měřili jen jeden krát, proto jako chybu hmotnosti máme přímo chybu měřicího přístroje.

Naměřené hodnoty hmotnosti malé lahvičky s vodou  $m_1^v$ , s lihem  $m_1^l$ , velké lahvičky s vodou  $m_2^v$  a s lihem  $m_2^l$  jsou v Tab. 1. Hodnoty průměru hmotnosti a statistické chyby  $\sigma_{\text{statist}}$  spočteny podle vzorců pro aritmetický průměr a chybu aritmetického průměru [2]. Odečtením hodnot hmotnosti prázdných lahviček od aritmetických průměrů v Tab. 1 dostaneme výsledné hodnoty hmotnosti 30 kapek vody a lihu pro dvě různé lahvičky. Vzhledem k relativně velké statistické chybě  $\sigma_{\text{statist}}$  můžeme zanedbat chybu analytických vah.

Pro provádění korekce na vypařování lihu jsme několikrát změřili hodnoty hmotnosti dvou lahviček s lihem do otevření nádoby a po otevření nádoby na dobu 50 s (čas odkapování 30 kapek lihu).

Naměřené hodnoty hmotnosti malé lahvičky s lihem do vypařování  $m_{1d}$ , po vypařování  $m_{1p}$ , hmotnosti pro velkou lahvičku do vypařování  $m_{2d}$  a po vypařování  $m_{2p}$  jsou v Tab. 2. Hodnoty průměru hmotnosti vypařeného lihu  $\Delta m$  a statistická chyba  $\sigma_{\Delta m}$  spočteny podle vzorců pro aritmetický průměr a chybu aritmetického průměru.

	$m_1^{\text{v}}[\text{g}]$	$m_1^{\text{l}}[\text{g}]$	$m_2^{\text{v}}[\text{g}]$	$m_2^{\text{l}}[\text{g}]$
	58,1126	56,0770	87,5410	85,6062
	58,0801	56,1110	87,5662	85,6060
	58,0840	56,0416	87,6461	85,5495
	58,0508	—	87,5926	—
průměr $[\text{g}]$	58,082	56,080	87,590	85,587
$\sigma_{\text{statist}}[\text{g}]$	0,013	0,020	0,020	0,019

Tab. 1: Naměřené hodnoty hmotnosti nádob dvou různých rozměru s 30 kapkami dvou různých kapalin pro určení hodnoty povrchového napětí kapkovou metodou.  $m_1^{\text{v}}$  je hmotnost menší nádoby s vodou,  $m_1^{\text{l}}$  hmotnost menší nádoby s lihem,  $m_2^{\text{v}}$  hmotnost větší nádoby s vodou,  $m_2^{\text{l}}$  hmotnost větší nádoby s lihem.  $\sigma_{\text{statist}}$  je statistická chyba průměru.

	$m_{1\text{d}}[\text{g}]$	$m_{1\text{p}}[\text{g}]$	$m_{2\text{d}}[\text{g}]$	$m_{2\text{p}}[\text{g}]$
	56,1110	56,1096	85,5407	85,5382
	56,0416	56,0406	85,5382	85,5360
	56,0406	56,0389	—	—
$\Delta m[\text{g}]$	0,0014		0,00235	
$\sigma_{\Delta m}[\text{g}]$	0,0002		0,00015	

Tab. 2: Naměřené hodnoty hmotnosti nádob dvou různých rozměru s lihem do vypařování a po vypařování pro korekci výsledku měření hodnoty povrchového napětí lihu kapkovou metodou.  $m_{1\text{d}}$  je hmotnost menší nádoby s lihem do vypařování,  $m_{1\text{p}}$  hmotnost menší nádoby s lihem po vypařování,  $m_{2\text{d}}$  hmotnost větší nádoby s lihem do vypařování,  $m_{2\text{p}}$  hmotnost větší nádoby s lihem po vypařování.  $\Delta m$  je průměr hmotnosti vypařeného lihu pro každou z nádob,  $\sigma_{\Delta m}$  je statistická chyba průměru.

Přičtením k hodnotám průměru hmotnosti 30 kapek vody a lihu z Tab. 1 veličin hmotnosti vypařeného lihu  $\sigma_{\Delta m}$  provedeme korekci na vypařování. Při provedení korekci můžeme zanedbat hodnotu statistické chyby  $\sigma_{\Delta m}$ .

Dosazením do vzorce (1) výsledných hmotností pro vodu a lih s korekci při použití tabulkové hodnoty povrchového napětí vody  $\sigma_v = 0,0728 \text{ N m}^{-1}$  [3] dostaneme veličiny povrchového napětí lihu vypočtené pomocí malé  $\sigma_m$  a velké lahvičky  $\sigma_v$ :

$$\sigma_m = (0,0226 \pm 0,0005) \text{ N m}^{-1} \quad \sigma_v = (0,0228 \pm 0,0005) \text{ N m}^{-1}.$$

Chybu nalezení povrchového napětí jsme spočítali pomocí vzorce odvozeného v domácí přípravě.

Výslednou hodnotu povrchového napětí lihu dostaneme jako průměr výsledků pro obě dvě lahvičky:

$$\sigma_m = (0,0227 \pm 0,0007) \text{ N m}^{-1}$$

## 5.2 Měření dynamické viskozity tekutin

Nejdřív jsme změřili teplotu v místnosti  $\theta$ , výšku  $h$  a vnitřní poloměr viskozimetru  $R$ . Pro nalezení hmotnosti kuliček potřebujeme hmotnost Petriho misky  $m_{\text{m}}$ , kterou jsme změřili na digitálních vahách.

$$\theta = (23,1 \pm 0,1) ^\circ\text{C} \quad h = (64,5 \pm 0,1) \text{ cm}$$

$$R = (1,5 \pm 0,1) \text{ cm} \quad m_{\text{petr}} = (15,00 \pm 0,09) \text{ g}$$

Chybu jsou chybami měřicích přístrojů. Chybu měření hmotnosti digitálními váhy jsme našli podle datasheetu [4].

Naměřili jsme průměry kuliček dvou typů a našli je poloměry ( $r_{\text{m}}$  pro malé a  $r_{\text{v}}$  pro velké kuličky). Pomoci digitálních vah jsme našli hmotnosti 10 kuliček v Petrivo misce a pak spočetli hmotnost jedné kuličky ( $m$  pro malou a  $M$  pro velkou kuličku).

$$r_m = (1,490 \pm 0,003) \text{ mm} \quad r_v = (2,370 \pm 0,003) \text{ mm}$$

$$m = (0,06 \pm 0,013) \text{ g} \quad M = (0,434 \pm 0,013) \text{ g}$$

Chyby byly spočteny jako chyby nepřímého měření [2].

Podle vzorce odvozeného v domácí přípravě (viz Příloha) a s použitím hodnoty hustoty oleje při  $18^\circ\text{C}$   $\rho_{18} = 961 \text{ kg}\cdot\text{m}^{-3}$  [1] a objemové teplotní roztažnosti  $\beta_{\text{olej}} = 0,69 \cdot 10^{-3} \text{ K}^{-1}$  jsme našli hustotu oleje  $\rho_{\text{olej}}$ :

$$\rho_{\text{olej}} = (957,63 \pm 0,07) \text{ kg m}^{-3}$$

Podle vzorce pro objem koule jsme našli hustotu malých  $\rho_m$  a velkých  $\rho_v$  koulí. Chybu jsme našli jako chybu nepřímého měření.

$$\rho_m = (4300,06 \pm 900) \text{ kg m}^{-3} \quad \rho_v = (7800 \pm 200) \text{ kg m}^{-3}$$

Naměřené hodnoty času, za který kuličky prošly dráhu délky  $30,0 \pm 0,1 \text{ cm}$  jsou v Tab. ???. Hodnota  $t_m$  reprezentuje tento čas pro malé kuličky,  $t_v$  pro velké kuličky. Průměr času jsme našli jako aritmetický průměr a chybu jako chybu aritmetického průměru.

												průměr	chyba
$t_m[\text{s}]$	21,95	21,90	22,05	21,92	21,85	21,76	21,66	21,83	21,66	21,82	21,84	0,04	
$t_v[\text{s}]$	7,15	7,19	7,25	7,15	7,23	7,08	7,10	7,15	7,13	6,96	7,14	0,03	

Tab. 3: Naměřené hodnoty času, za který kuličky prochází dráhu délky  $30,0 \pm 0,1 \text{ cm}$  ve Stokesovem viskozimetru s olejem.  $t_m$  je čas pro malé kuličky,  $t_v$  pro velké kuličky.

Našli jsme hodnoty střední rychlosti malé  $v_m$  a velké  $v_v$  kuličky na draze délky  $30,0 \pm 0,1 \text{ cm}$ .

$$v_m = (1,37 \pm 0,03) \text{ cm s}^{-1} \quad v_v = (4,20 \pm 0,06) \text{ cm s}^{-1}$$

Podle vzorce (2) dostaneme hodnoty viskozity oleje pro malé  $\eta_m$  a velké  $\eta_v$  kuličky:

$$\eta_m = (1,2 \pm 0,3) \text{ Pa s} \quad \eta_v = (1,98 \pm 0,06) \text{ Pa s}.$$

Pro hodnoty viskozity oleje po opravě na velikost viskozimetru podle vzorce (3) máme pro malé  $\eta_m^{\text{opr}}$  a velké  $\eta_v^{\text{opr}}$  kuličky:

$$\eta_m^{\text{opr}} = (1,0 \pm 0,3) \text{ Pa s} \quad \eta_v^{\text{opr}} = (1,4 \pm 0,3) \text{ Pa s}.$$

Při výpočtu jsme použili hodnoty tíhového zrychlení  $g$  [5]. Chybu měření  $\kappa$  jsme určili podle vzorce odvozeného v domácí přípravě (viz Příloha).

### 5.3 Měření dynamické viskozity vzduchu

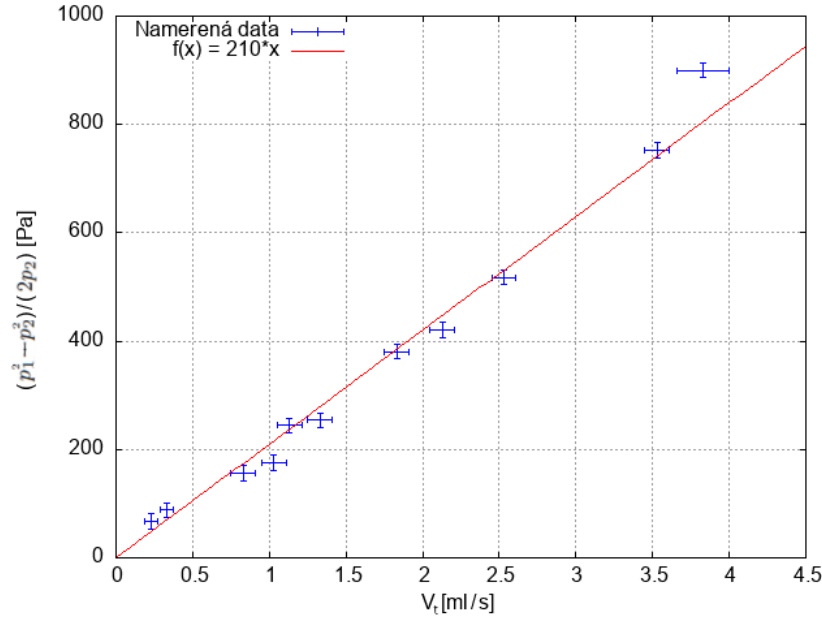
Průměr kapiláry nad "U" manometrem je  $d$ , délku kapiláry  $l$  [1] a hodnotu atmosférické tlaku  $\rho_2$  [6] považujeme ve výpočtech za přesné (tj. s nulovou chybou):

$$r = 0,39 \text{ mm} \quad l = 91,6 \text{ mm} \quad \rho_2 = 100500 \text{ Pa}$$

V Tab. 4 jsou naměřené hodnoty výšek hladin vodního sloupce  $h_1$  a  $h_2$  v "U" manometru, vypočtený rozdíl přetlaku  $\Delta\rho$ , naměřené hodnoty objemu vody  $V$  vycházející trubicí T1 za čas  $t$ , vypočtené hodnoty průtoku  $V_t$  a hodnoty průtok po korekci s příslušnou chybou  $\sigma_{V_t}$ , kterou jsme našli jako chybu nepřímého měření. Pro korekci hodnot průtoku jsme změřili objem vody  $V_{\text{kor}}$ , která vytéká ze trubice při atmosférickém tlaku za  $t_{\text{kor}} = 210 \text{ s}$ . Pak od hodnot průtoku  $V_t$  jsme odečetli  $\frac{V_{\text{kor}}}{t_{\text{kor}}}$ .

$h_1$ [mm]	$h_2$ [mm]	$\Delta\rho$ [Pa]	$t$ [s]	$V$ [ml]	$V_t$ [ml s <sup>-1</sup> ]	$V_t^k$ [ml s <sup>-1</sup> ]	$\sigma_{V_t^k}$ [ml s <sup>-1</sup> ]
86	102	156	30,0	30,0	1,0	0,83	0,08
74	113	381	30,0	60,0	2,0	1,83	0,08
47	139	900	15,0	60,0	4,0	3,83	0,17
89	98	88	60,0	30,0	0,5	0,33	0,04
81	106	244	30,0	40,0	1,3	1,13	0,08
55	132	753	30,0	110,0	3,7	3,53	0,08
90	97	68	60,0	25,0	0,4	0,23	0,04
84	102	176	30,0	35,0	1,2	1,03	0,08
80	106	254	30,0	45,0	1,5	1,33	0,08
72	115	420	30,0	70,0	2,3	2,13	0,08
67	120	518	30,0	80,0	2,7	2,53	0,08

Tab. 4: Naměřená data pro měření dynamické viskozity vzduchu průtokovou metodou.  $h_1$  a  $h_2$  jsou výšky hladin vodního sloupce v "U" manometru s chybou 1 mm,  $\Delta\rho$  je vypočtený rozdíl mezi tlakem na vstupu kapiláry a atmosférickým tlakem 100500 Pa s chybou 14 Pa,  $V$  s přesností 2,5 ml je objem vytlačené vody za čas  $t$  vypočtený s chybou 0,1 s,  $V_t$  je hodnota průtoku a  $V_t^k$  je hodnota průtoku s korekci a  $\sigma_{V_t^k}$  je příslušná chyba.



Obr. 2: Vypočtené hodnoty  $\frac{\rho_1^2 - \rho_2^2}{2\rho_2}$  v závislosti na průtoku  $V_t^k$  s příslušnými chyby a proložení dat lineární funkcí.

Chybu měření výšek  $h_1$ ,  $h_2$  jsme stanovili na 1 mm, chybu rozdílu tlaku  $\Delta\rho$  na 14 Pa jako chybu nepřímého měření, čas  $t$  jsme měřili s přesností 0,1 s. Chyba měření objemu  $V$  je 2,5 ml jako půlka nejmenšího dílku. Pro hodnoty

Fitováním závislosti  $\frac{\rho_1^2 - \rho_2^2}{2\rho_2}$  na průtoku  $V_t^k$  lineární funkcí jsme dostali koeficient  $A$  s příslušnou chybou:

$$A = (210 \pm 5) \text{ Pa s ml}^{-1}.$$

Podle vztahu (5) najdeme výslednou hodnotu dynamické viskozity vzduchu  $\eta$ , chybu vypočteme jako chybu nepřímého měření:

$$\eta = (20,8 \pm 0,5) \cdot 10^{-6} \text{ Pa s}.$$

## 6 Diskuze

### 6.1 Měření povrchového napětí kapalin

Hodnotu povrchové napětí lihu jsme kapkovou metodou naměřili na  $\sigma = (0,0227 \pm 0,0007) \text{ N m}^{-1}$  s relativně malou chybou cca 3%, při srovnání s tabulkovou hodnotou povrchové napětí lihu  $\sigma_{\text{tab}} = 0,02275 \text{ N m}^{-1}$  [7] je vidět, že naměřená hodnota se rovná tabulkové až na hodnotu chyby. Tím pádem hodnoty můžeme považovat za shodné. Chyba měření je přímo statistickou chybou, kterou můžeme snížit zvětšením počtu měření. Korekce na vypařování lihu nebyla moc potřebná pro námi zvolený počet kapek a rychlost kapání, hmotnost vypařeného lihu je menší než statistická chyba měření hmotnosti líhu. Ale při zvětšení počtu měření hmotnosti a zmenšením statistické chyby to by dávalo smysl.

### 6.2 Měření dynamické viskozity tekutin

Naměřené hodnoty dynamické viskozity pro dva různých typů kuliček se liší skoro o 50%, ale každá z nich má k tomu i relativně velkou chybu kolem 30%. Tato chyba způsobena chybou měření hmotností kuliček, která je chybou měřicího přístroje (digitálních vah). Pravděpodobně by šlo výsledek zpřesnit použitím analytických vah.

Výsledky bohužel nemůžeme porovnat s žádnou tabulkovou hodnotou, různé ricinový oleje mají velmi odlišnou hodnotu a nevíme který olej se používá v Stokesově viskozimetru.

### 6.3 Měření dynamické viskozity vzduchu

Fitováním podle naměřených a vypočtených hodnot jsme určili hodnotu dynamické viskozity vzduchu  $\eta = (20,8 \pm 0,5) \cdot 10^{-6} \text{ Pa s}$  s chybou 2,4%, ale při srovnání s tabulkovou hodnotou  $\eta_{\text{tab}} = 18,2 \cdot 10^{-6} \text{ Pa s}$  [8] je vidět, že hodnoty od sebe vzdáleny  $\geq 5\sigma$ , tím pádem hodnoty nemůžeme považovat za shodné. Nesoulad s tabulkovou hodnotou je pravděpodobně způsoben systematickou chybou, která mohla být způsobena například unikem vzduchu přes těsnění a spojení.

## 7 Závěr

Určili jsme povrchové napětí lihu kapkovou metodou pomocí jenom jedné kapiláry na  $\sigma = (0,0227 \pm 0,0007) \text{ N m}^{-1}$ . Provedli jsme korekci na těkavost lihu, Systematická chyba ve srovnání se systematickou je zanedbatelná.

Změřili jsme dynamickou viskozitu oleje Stokesovou metodou na  $\eta_{\text{m}}^{\text{opr}} = (1,0 \pm 0,3) \text{ Pa s}$  pro malé a velké koule s korekci na rozměry Stokesova viskozimetru na

$$\eta_{\text{m}}^{\text{opr}} = (1,0 \pm 0,3) \text{ Pa s} \quad \eta_{\text{v}}^{\text{opr}} = (1,4 \pm 0,3) \text{ Pa s},$$

a bez korekci na

$$\eta_{\text{m}} = (1,2 \pm 0,3) \text{ Pa s} \quad \eta_{\text{v}} = (1,98 \pm 0,06) \text{ Pa s}.$$

Systematická chyba měření kvůli nepřesnosti určení hmotnosti kuliček je mnohém větší než statistická chyba. Kvůli velkému rozdílu mezi nalezenými hodnotami pro různé typy kuliček nemůžeme spočítat společný výsledek.

Provedli jsme měření objemu protékajícího vzduchu při daném úbytku tlaku v kapiláře pomocí měřicí aparatury na Obr. 1. Výsledky jsme vynesli do grafu (Obr. 2) ve tvaru  $\left(\frac{p_1^2 - p_2^2}{2p_2}\right) = f(V_t)$  a nafitovali lineární funkcí.

Z výsledků fitu určí jsme dynamickou viskozitu vzduchu při pokojové teplotě na  $\eta = (20,8 \pm 0,5) \cdot 10^{-6} \text{ Pa s}$ . Výsledná hodnota vzdálena od tabulkové  $\geq 5\sigma$ , což pravděpodobně způsobeno neznámou systematickou chybou.



## Literatura

- [1] Návod - Měření povrchového napětí a dynamické viskozity kapalin a plynů - [https://moodle-vyuka.cvut.cz/pluginfile.php/435356/mod\\_resource/content/7/navod\\_uloha7\\_200921.pdf](https://moodle-vyuka.cvut.cz/pluginfile.php/435356/mod_resource/content/7/navod_uloha7_200921.pdf) [cit.8.11.2021]
- [2] Základy fyzikálních měření, prezentace - <https://people.fjfi.cvut.cz/chalopet/ZFM/ZFM.pdf> [cit.8.11.2021]
- [3] WolframAlpha - <https://www.wolframalpha.com/input/?i=surface+tension+of+water> [cit.8.11.2021]
- [4] Digital scale LUTRON GM-600P Datasheet - <https://eshop.micronix.eu/data/eu/att/001/1237-588.pdf> [cit.8.11.2021]
- [5] WolframAlpha - <https://www.wolframalpha.com/input/?i=gravitation+acceleration+in+prague> [cit.8.11.2021]
- [6] WolframAlpha - <https://www.wolframalpha.com/input/?i=atmospheric+pressure+prague> [cit.8.11.2021]
- [7] WolframAlpha - <https://www.wolframalpha.com/input/?i=surface+tension+of+Alcohol> [cit.8.11.2021]
- [8] WolframAlpha - <https://www.wolframalpha.com/input/?i=dynamic+air+viscosity> [cit.8.11.2021]

# Příloha

## 8 Domácí příprava

Dů

$$1) V(\vartheta) = V_0 (1 + \beta \Delta \vartheta) = V_0 (1 + \beta (\vartheta - \vartheta_0))$$

$$p_0 = \frac{m}{V_0}, \text{ pro konstantní hmotnost } m: p(\vartheta) = \frac{m}{V(\vartheta)} =$$

$$= \frac{m}{V_0 (1 + \beta (\vartheta - \vartheta_0))} = \frac{V_0 p_0}{V_0 (1 + \beta (\vartheta - \vartheta_0))} = \frac{p_0}{(1 + \beta (\vartheta - \vartheta_0))}$$

2) Relativní chyba nepřímého měření:

$$a) \sigma_1 = \sigma_2 \frac{m_1^{meas}}{m_2^{meas}}; \frac{\partial \sigma_1}{\partial m_1^{meas}} = \frac{\sigma_2}{m_2^{meas}}; \frac{\partial \sigma_1}{\partial m_2^{meas}} = -\left(\frac{\sigma_2 m_1^{meas}}{(m_2^{meas})^2}\right)$$

$$\Delta \sigma_1 = \sqrt{\left(\frac{\partial \sigma_1}{\partial m_1^{meas}} \Delta m_1^{meas}\right)^2 + \left(\frac{\partial \sigma_1}{\partial m_2^{meas}} \Delta m_2^{meas}\right)^2} = \sqrt{\left(\frac{\sigma_2}{m_2^{meas}} \Delta m_1^{meas}\right)^2 + \left(\frac{\sigma_2 m_1^{meas}}{(m_2^{meas})^2} \Delta m_2^{meas}\right)^2} =$$

$$= \sigma_1 \sqrt{\left(\frac{\Delta m_1^{meas}}{m_1^{meas}}\right)^2 + \left(\frac{\Delta m_2^{meas}}{m_2^{meas}}\right)^2} \Rightarrow \frac{\Delta \sigma_1}{\sigma_1} = \sqrt{\left(\frac{\Delta m_1^{meas}}{m_1^{meas}}\right)^2 + \left(\frac{\Delta m_2^{meas}}{m_2^{meas}}\right)^2}$$

$$b) \eta = \frac{2}{9} \frac{g r^2}{u} (p - p_p) = \frac{2}{9} \frac{g r^2}{u} \bar{p}, \text{ kde } \eta = \eta(r, u, \bar{p})$$

$$\Delta \eta = \sqrt{\left(\frac{\partial \eta}{\partial r} \Delta r\right)^2 + \left(\frac{\partial \eta}{\partial u} \Delta u\right)^2 + \left(\frac{\partial \eta}{\partial \bar{p}} \Delta \bar{p}\right)^2} = \eta \sqrt{\left(\frac{2 \Delta r}{r}\right)^2 + \left(\frac{\Delta u}{u}\right)^2 + \left(\frac{\Delta \bar{p}}{\bar{p}}\right)^2}$$

$$\Rightarrow \frac{\Delta \eta}{\eta} = \sqrt{\left(\frac{2 \Delta r}{r}\right)^2 + \left(\frac{\Delta u}{u}\right)^2 + \left(\frac{\Delta \bar{p}}{\bar{p}}\right)^2}$$

$$c) \eta_k = \frac{2}{9} \frac{g \bar{p}}{u} \bar{p} \left(1 + \frac{3.4r}{R}\right)^{-1} \left(1 + \frac{3.3r}{h}\right)^{-1}, \eta_k = \eta(r, u, \bar{p}, R, h)$$

$$\eta_k = \sqrt{\left(\frac{\partial \eta_k}{\partial r}\right)^2 (\Delta r)^2 + \left(\frac{\partial \eta_k}{\partial u}\right)^2 (\Delta u)^2 + \left(\frac{\partial \eta_k}{\partial \bar{p}}\right)^2 (\Delta \bar{p})^2 + \left(\frac{\partial \eta_k}{\partial R}\right)^2 (\Delta R)^2 + \left(\frac{\partial \eta_k}{\partial h}\right)^2 (\Delta h)^2} =$$

$$= \sqrt{\left(\frac{2}{9} \frac{g \bar{p}}{u} \frac{r}{1 + \frac{3.4r}{R}} \cdot \frac{1}{1 + \frac{3.3r}{h}} \cdot \left(2 + \frac{r}{1 + \frac{3.4r}{R}} \cdot \frac{2.4}{R} + \frac{r}{1 + \frac{3.3r}{h}} \cdot \frac{3.3}{h}\right) \Delta r\right)^2 + \left(\frac{2}{9} \frac{g \bar{p}}{u} \frac{\bar{p}}{1 + \frac{3.4r}{R}}\right)^2}$$

$$\cdot \left(1 + \frac{3.3r}{h}\right)^{-1} (\Delta u)^2 + \left(\frac{2}{9} \frac{g \bar{p}}{u} \left(1 + \frac{3.3r}{h}\right)^{-1} \left(1 + \frac{3.4r}{R}\right)^{-1} \Delta \bar{p}\right)^2 + \left(\frac{2}{9} \frac{g \bar{p}}{u} \bar{p} \left(1 + \frac{3.4r}{R}\right)^{-1} \frac{3.4r}{R^2} \Delta R\right)^2 +$$

$$\left(\frac{2}{9} \frac{g \bar{p}}{u} \bar{p} \left(1 + \frac{3.4r}{R}\right)^{-1} \left(1 + \frac{3.3r}{h}\right)^{-1} \frac{3.3}{h^2} \Delta h\right)^2} \Rightarrow \frac{\Delta \eta_k}{\eta_k} = \sqrt{\left[\left(2 + 2.4r \cdot \left(1 + \frac{3.4r}{R}\right)^{-1} + 3.3r \left(1 + \frac{3.3r}{h}\right)^{-1}\right) \frac{\Delta r}{r}\right]^2 +$$

$$\left(\frac{\Delta u}{u}\right)^2 + \left(\frac{\Delta \bar{p}}{\bar{p}}\right)^2 + \left(\frac{3.4}{1 + \frac{3.4r}{R}} \frac{\Delta R}{R}\right)^2 + \left(\frac{3.3r}{1 + \frac{3.3r}{h}} \frac{\Delta h}{h^2}\right)^2}$$

Fakulta vědy a  
fyzikální problémy  
Fyzikální problémy